



普通高等教育“十一五”国家级规划教材

# 材料科学 研究与测试方法

(第2版)

CAILIAO KEXUE YANJIU YU CESHI FANGFA

朱和国 王新龙 ◎ 编著



东南大学出版社  
SOUTHEAST UNIVERSITY PRESS



普通高等教育“十一五”国家级规划教材

# 材料科学研究与测试方法

## (第 2 版)

朱和国 王新龙 编著

操光辉 主审

东南大学出版社  
·南京·

## 内 容 提 要

本书首先介绍了晶体学基础知识,然后系统介绍了X射线的物理基础、X射线衍射的方向与强度、多晶体X射线衍射分析的方法、X射线衍射仪及其在物相鉴定、宏微观应力与晶粒尺寸的测定、多晶体的织构分析、小角X射线散射等方面的应用;介绍了电子衍射的物理基础、透射电子显微镜的结构与原理、衍射成像、运动学衬度理论、高分辨透射电子显微技术、扫描电子显微镜的结构与原理、电子探针及其应用;介绍了AES、XPS、STM、AFM、LEED等常用表面分析技术和TG、DTA、DSC等常用热分析技术的原理、特点及其应用;最后简要介绍了红外光谱和拉曼光谱等。书中研究和测试的材料包括金属材料、无机非金属材料、高分子材料、非晶态材料、金属间化合物、复合材料等。对每章内容作了提纲式的小结,并附有适量的思考题。书中采用了一些作者尚未发表的图片和曲线,同时在实例分析中还注重引入了一些当前材料界最新的研究成果。

本书可作为材料科学与工程学科本科生的学习用书,也可供相关学科与专业的研究生、教师和科技工作者使用。

## 图书在版编目(CIP)数据

材料科学研究与测试方法/朱和国,王新龙编著.

—2 版.—南京:东南大学出版社, 2013. 7

ISBN 978-7-5641-4370-1

I. 材… II. ①朱…②王… III. ①材料科学—研究方法—高等学校—教材②工程材料—测试—高等学校—教材 IV. ①TB3

中国版本图书馆 CIP 数据核字(2013)第 147308 号

## 材料科学研究与测试方法(第 2 版)

出版发行	东南大学出版社
出版人	江建中
网 址	<a href="http://www.seupress.com">http://www.seupress.com</a>
电子邮箱	press@seupress.com
社 址	南京市四牌楼 2 号
邮 编	210096
电 话	025-83793191(发行) 025-57711295(传真)
经 销	全国各地新华书店
印 刷	南京工大印务有限公司
开 本	787 mm×1092 mm 1/16
印 张	22.25
字 数	570 千字
版 次	2013 年 8 月第 2 版
印 次	2013 年 8 月第 1 次印刷
书 号	ISBN 978-7-5641-4370-1
定 价	44.80 元

本社图书若有印装质量问题,请直接与营销部联系。电话(传真):025-83791830。

## 第 2 版前言

本书是普通高等教育“十一五”国家级规划教材，自 2008 年出版以来，已印刷四次，受到广大师生及同仁的关注，收到良好的教学效果，令作者深感欣慰。与此同时，也收到了很多读者的建议，指出了本书的不足之处，为此，我们结合自己的教学体会和当今材料研究技术的最新成果，并参阅国内外现有同类教材，对第一版进行以下修订：

1. 删去不常用的卷积内容，大幅修订织构章节，增加了一些特别重要的公式，如球面三角关系公式、谢勒公式等的推导过程，加深读者对内容的理解。
2. 增加日益受到重视的小角 X 射线散射理论及其应用实例。
3. 增加电子衍射花样斑点指数的作图实例，增进读者对其产生过程的深刻理解，揭开电子衍射花样的神秘面纱，为电子衍射花样的正确标定打下良好基础。
4. 增加高分辨电子显微像的形成原理，使本章内容更加完整。
5. 精简 XPS 内容，补充了峰标定符号的解释，增加了原子力显微镜的成像原理及其应用实例，突出反映材料研究中的新概念、新技术、新知识、新理论，反映教材内容的现代化。
6. 更新热分析技术在新材料开发、研究中的应用实例，特别是活化能计算的应用。
7. 全面更新光谱分析的内容，主要介绍红外光谱与拉曼光谱的理论及其应用，比较两者的特点，增加两者配合使用的实例。

总之，通过修订再版，使本书的内容更加系统丰富、叙述更加简明扼要，但又不就方法而方法，而是全方位培养读者思考问题、分析问题和解决问题的能力，注重提高读者的自学和应用能力。同时也为任课老师精心制作了课件，并免费提供，请与责编联系：[amberzhang@seu.edu.cn](mailto:amberzhang@seu.edu.cn)。

本书由南京理工大学一线教师编著。全书共 11 章及附录，其中第 1 章～第 9 章及附录（朱和国），第 10 章（朱和国，杜宇雷），第 11 章（王新龙），全书由朱和国统稿，上海大学操光辉主审。

本书参考和应用了其他一些材料科学工作者的研究成果、资料和图片，再

版过程中得到了东南大学的吴申庆教授、南京理工大学的刘金强、崔崇、吴锵等教授和孙强金高工的热情鼓励和帮助,以及蒋娅琳、姚寅群、贾翠翠、董抗、华波和孙浩等研究生的鼎力支持,在此表示深深的敬意和感谢!

由于作者的水平有限,对本书中的疏漏和错误之处,敬请广大读者批评指正。

朱和国

2013年4月于南京

## 第1版前言

众所周知,材料、信息和能源是现代科学技术重点发展的三大领域,而材料又是信息和能源发展的物质基础,是重中之重,可以说没有先进材料就没有现代科技。然而,对材料的科学研究与测试方法的合理选择又是获得先进材料的核心环节,是材料科学的工作者必须掌握的基本知识。

《材料科学研究与测试方法》是普通高等教育“十一五”国家级规划教材,是材料科学与工程本科专业的基础课程,是作者在十多年的教学经验基础上并参考了国内外同类教材的最新发展编著而成的,书中采用了一些作者尚未公开发表的图片和曲线。全书主要包括晶体学基础、X射线的衍射分析及应用、电子衍射分析及应用、表面分析技术、热分析技术和光谱分析技术等内容。书中所涉及的材料包括金属材料、无机非金属材料、高分子材料、非晶材料、复合材料等。对每章内容均作了提纲式的小结,便于读者复习和掌握所学内容,对一些重要的研究方法,还列举了相关的研究实例,帮助读者领会材料科学的研究思路,懂得该研究什么、为何研究及怎样研究。全书力求深度适中,表述繁简结合,通俗易懂。

本书由南京理工大学一线教师合作编著,共11章,其中第1~6章、第8章和第9章由朱和国博士执笔;第7章和第4.8节由王恒志博士执笔;第10章由杜宇雷博士、李玮、朱和国共同完成;第11章由王新龙博士执笔。全书由朱和国统稿,上海大学材料学院洪堡学者操光辉博士任主审。

在编著过程中,作者参考和应用了其他一些材料科学工作者的研究成果、资料和图片,在此表示深深的敬意和感谢。在此还要感谢东南大学材料学院博士生导师吴申庆教授在百忙之中给予的精心指点和无私帮助;感谢东南大学材料学院余焜教授给本书提出的宝贵意见。感谢颜银标教授、孙强金高工所给予的大力支持;感谢吴旭、陈湜、徐彩萍、杨军、张立奎、周熙、朱敏、贺睿琦、任小敏等研究生对本书所做的工作;最后还要感谢潘春丽女士在文字处理方面的全力帮助。

本书于2008年4月出版第1版后,2010年1月修订重印时,得到了刘金强教授的大力帮助和精心指点,在此表示衷心感谢。

由于作者的水平有限,对本书中的疏漏和错误之处,敬请广大读者批评指正。

朱和国

2010.1于南京

# 目 录

<b>1 晶体学基础</b> .....	1
1.1 晶体及其基本性质	1
1.1.1 晶体的概念	1
1.1.2 空间点阵的四要素	1
1.1.3 布拉菲阵胞	2
1.1.4 典型晶体结构	4
1.1.5 晶体的基本性质	7
1.1.6 准晶体简介	7
1.2 晶向、晶面及晶带	8
1.2.1 晶向及其表征	8
1.2.2 晶面及其表征	9
1.2.3 晶带及其表征	11
1.3 晶体的宏观对称及点群	11
1.3.1 对称的概念	11
1.3.2 对称元素及对称操作	11
1.3.3 对称元素的组合及点群	16
1.3.4 晶体的分类	17
1.3.5 准晶体的点群及其分类	17
1.3.6 点群的国际符号	19
1.3.7 点群的圣佛利斯符号	19
1.4 晶体的微观对称与空间群	20
1.4.1 晶体的微观对称	20
1.4.2 晶体的空间群及其符号	22
1.5 晶体的投影	23
1.5.1 球面投影	24
1.5.2 极式网与乌氏网	26
1.5.3 晶带的极射赤面投影	28
1.5.4 标准极射赤面投影图(标准 极图)	30
1.6 倒易点阵	30
1.6.1 正点阵	31
1.6.2 倒点阵(倒易点阵)	31
1.6.3 正倒空间之间的关系	31
1.6.4 倒易矢量的基本性质	33
1.6.5 晶带定律	34
1.6.6 广义晶带定律	35
本章小结	35
思考题	37
<b>2 X射线的物理基础</b> .....	39
2.1 X射线的发展史	39
2.2 X射线的性质	39
2.2.1 X射线的产生	39
2.2.2 X射线的本质	40
2.3 X射线谱	41
2.3.1 X射线连续谱	42
2.3.2 X射线特征谱	43
2.4 X射线与物质的相互作用	46
2.4.1 X射线的散射	46
2.4.2 X射线的吸收	47
2.4.3 吸收限的作用	50
本章小结	51
思考题	52
<b>3 X射线的衍射原理</b> .....	53
3.1 X射线衍射的方向	53
3.1.1 劳埃方程	53
3.1.2 布拉格方程	55
3.1.3 布拉格方程的讨论	56
3.1.4 衍射矢量方程	59
3.1.5 布拉格方程的厄瓦尔德 图解	60
3.1.6 布拉格方程的应用	61
3.1.7 常见的衍射方法	61
3.2 X射线的衍射强度	63
3.2.1 单电子对X射线的散射	63
3.2.2 单原子对X射线的散射	65
3.2.3 单胞对X射线的散射	67
3.2.4 单晶体的散射强度与干涉 函数	72
3.2.5 多晶体的衍射强度	74
3.2.6 影响多晶体衍射强度的其他 因子	75
本章小结	78
思考题	80
<b>4 X射线的多晶衍射分析及其应用</b> .....	81
4.1 X射线衍射仪	81

4.1.1 测角仪	81	5 电子显微分析的基础	147
4.1.2 计数器	83	5.1 光学显微镜的分辨率	148
4.1.3 计数电路	85	5.2 电子波的波长	149
4.1.4 X射线衍射仪的常规测量	86	5.3 电子与固体物质的作用	150
		5.3.1 电子散射	151
4.2 X射线物相分析	87	5.3.2 电子与固体作用时激发的信息	153
4.2.1 物相的定性分析	87	5.4 电子衍射	156
4.2.2 物相的定量分析	94	5.4.1 电子衍射与X射线衍射的异同点	157
4.3 点阵常数的精确测定	98	5.4.2 电子衍射的方向——布拉格方程	158
4.3.1 测量原理	98	5.4.3 电子衍射的厄瓦尔德图解	158
4.3.2 误差源分析	99	5.4.4 电子衍射花样的形成原理及电子衍射的基本公式	159
4.3.3 测量方法	99	5.4.5 零层倒易面及非零层倒易面	160
4.4 宏观应力的测定	103	5.4.6 标准电子衍射花样	161
4.4.1 内应力的产生、分类及其衍射效应	103	5.4.7 偏移矢量	164
4.4.2 宏观应力的测定原理	104	本章小结	166
4.4.3 宏观应力的测定方法	107	思考题	168
4.4.4 应力常数K的确定	110		
4.5 微观应力的测定	111		
4.6 非晶态物质及其晶化后的衍射	112		
4.6.1 非晶态物质结构的主要特征	112		
4.6.2 非晶态物质的结构表征及其结构常数	112		
4.6.3 非晶态物质的晶化	115		
4.7 膜厚的测量	117		
4.8 多晶体的织构分析	117		
4.8.1 织构及其表征	117		
4.8.2 丝织构的测定	120		
4.8.3 板织构的测定	122		
4.8.4 反极图的测绘与分析	126		
4.8.5 织构的三维取向分布函数法	129		
4.9 晶粒大小的测定	130		
4.10 小角X射线散射	132		
4.10.1 小角X射线散射的基本原理	132		
4.10.2 小角X射线散射实验	136		
4.10.3 小角X射线散射技术的特点	138		
4.10.4 小角X射线散射技术的应用	138		
4.11淬火钢中残余奥氏体的测量	142		
本章小结	142		
思考题	145		

6.7.3 消像散器	182
6.7.4 光阑	183
6.8 透射电镜中的电子衍射	184
6.8.1 有效相机常数	184
6.8.2 选区电子衍射	185
6.9 常见的电子衍射花样	186
6.9.1 单晶体的电子衍射花样	186
6.9.2 多晶体的电子衍射花样	189
6.9.3 复杂的电子衍射花样	190
6.10 透射电镜的图像衬度理论	196
6.10.1 衬度的概念与分类	196
6.10.2 衍射衬度运动学理论与应用	199
6.10.3 非理想晶体的衍射衬度	204
6.10.4 非理想晶体的缺陷成像分析	205
6.11 透射电镜的样品制备	213
6.11.1 基本要求	213
6.11.2 薄膜样品的制备过程	214
本章小结	215
思考题	217
<b>7 薄晶体的高分辨像</b>	<b>219</b>
7.1 高分辨电子显微像的形成原理	219
7.1.1 试样透射函数的近似表达式	219
7.1.2 衬度传递函数 $S(u, v)$	221
7.1.3 像平面上的像面波函数 $B(x, y)$	223
7.1.4 最佳欠焦条件及电镜最高分辨率	225
7.1.5 第一通带宽度( $\sin \chi = -1$ )的影响因素	226
7.2 高分辨像举例	231
7.2.1 晶格条纹像	231
7.2.2 一维结构像	233
7.2.3 二维晶格像	234
7.3.4 二维结构像	235
本章小结	237
思考题	237
<b>8 扫描电子显微镜及电子探针</b>	<b>238</b>
8.1 扫描电镜的结构	238
8.1.1 电子光学系统	239
8.1.2 信号检测处理、图像显示和记录系统	240
8.1.3 真空系统	241
8.2 扫描电镜的主要性能参数	241
8.2.1 分辨率	241
8.2.2 放大倍数	242
8.2.3 景深	242
8.3 表面成像衬度	242
8.3.1 二次电子成像衬度	243
8.3.2 背散射电子成像衬度	244
8.4 二次电子衬度像的应用	245
8.5 背散射电子衬度像的应用	247
8.6 电子探针	248
8.6.1 电子探针波谱仪	248
8.6.2 电子探针能谱仪	251
8.6.3 能谱仪与波谱仪的比较	252
8.7 电子探针分析及应用	253
8.7.1 定性分析	253
8.7.2 定量分析	255
8.8 扫描电镜的发展	255
本章小结	256
思考题	257
<b>9 表面分析技术</b>	<b>258</b>
9.1 俄歇电子能谱分析(Auger Electron Spectroscopy, AES)	258
9.1.1 俄歇电子能谱仪的结构原理	258
9.1.2 俄歇电子谱	259
9.1.3 定性分析	260
9.1.4 定量分析	261
9.1.5 化学价态分析	262
9.1.6 AES 的应用举例	262
9.1.7 俄歇能谱仪的最新进展	264
9.2 X射线光电子能谱仪(X-Ray Photoelectron Spectroscopy, XPS)	265
9.2.1 X射线光电子能谱仪的工作原理	265
9.2.2 X射线光电子能谱仪的系统组成	265
9.2.3 X光电子能谱及表征	267
9.2.4 X光电子能谱仪的功用	269
9.2.5 XPS 的应用举例	271
9.2.6 XPS 的发展趋势	274

9.3 扫描隧道电镜(Scanning Tunneling Microscope, STM) .....	274	10.5.3 动态热机械分析技术 .....	309
9.3.1 STM 的基本原理 .....	274	本章小结 .....	309
9.3.2 STM 的工作模式 .....	275	思考题 .....	310
9.3.3 STM 的特点 .....	276		
9.3.4 STM 的应用举例 .....	277		
9.4 原子力显微镜(Atom Force Microscope, AFM) .....	279	<b>11 红外光谱和拉曼光谱 .....</b>	311
9.4.1 原子力显微镜的工作原理 .....	279	11.1 红外光谱 .....	311
9.4.2 原子力显微镜的工作模式 .....	280	11.1.1 基本原理 .....	311
9.4.3 试样制备 .....	281	11.1.2 红外光谱与分子结构 .....	313
9.4.4 形貌成像的应用 .....	281	11.1.3 影响基团频率的因素 .....	314
9.5 低能电子衍射(Lower Energy Electron Diffraction, LEED) .....	283	11.1.4 红外光谱仪 .....	314
9.5.1 低能电子衍射的基本原理 .....	284	11.1.5 试样的处理和制备 .....	315
9.5.2 低能电子衍射仪的结构与 花样特征 .....	285	11.1.6 图谱解析 .....	315
9.5.3 LEED 的应用举例 .....	285	11.1.7 红外光谱法的应用 .....	315
本章小结 .....	287	11.1.8 红外光谱新技术 .....	318
思考题 .....	289	11.2 拉曼光谱法 .....	319
<b>10 热分析技术 .....</b>	290	11.2.1 基本原理 .....	319
10.1 热分析技术的发展史 .....	290	11.2.2 拉曼光谱仪与样品的放置 .....	320
10.2 热分析方法 .....	290	11.2.3 拉曼光谱与红外光谱比较 .....	321
10.2.1 热重分析法(TG) .....	291	11.2.4 拉曼光谱在材料中的应用 .....	321
10.2.2 差热分析法(DTA) .....	292	本章小结 .....	325
10.2.3 差示扫描量热法(DSC) .....	295	思考题 .....	326
10.3 热分析测量的影响因素 .....	297		
10.3.1 实验条件 .....	297	<b>附录 .....</b>	327
10.3.2 试样特性 .....	298	附录 1 常用物理常数 .....	327
10.4 热分析的应用 .....	299	附录 2 晶体的三类分法及其对称 特征 .....	327
10.4.1 块体金属玻璃 .....	299	附录 3 32 种点群对称元素示意图 .....	328
10.4.2 硅酸盐 .....	301	附录 4 宏观对称元素及说明 .....	329
10.4.3 陶瓷反应合成 .....	302	附录 5 32 种点群的习惯符号、国际符号 及圣佛利斯符号 .....	330
10.4.4 内生型复合材料 .....	303	附录 6 质量吸收系数 $\mu_m$ .....	331
10.4.5 含能材料 .....	304	附录 7 原子散射因子 $f$ .....	332
10.4.6 反应活化能的计算 .....	305	附录 8 原子散射因子校正值 $\Delta f$ .....	333
10.5 热分析技术的新发展 .....	307	附录 9 粉末法的多重因素 $P_{hkl}$ .....	333
10.5.1 联用技术 .....	307	附录 10 某些物质的特征温度 $\Theta$ .....	333
10.5.2 温度调制式差示扫描量 热技术 .....	309	附录 11 德拜函数 $\frac{\phi(x)}{x} + \frac{1}{4}$ 之值 .....	334
		附录 12 应力测定常数 .....	334
		附录 13 常见晶体的标准电子衍射花样 .....	335
		参考文献 .....	340

# 1 晶体学基础

## 1.1 晶体及其基本性质

### 1.1.1 晶体的概念

晶体是指其内部的原子、分子、离子或其集团在三维空间呈周期性排列的固体。而这些周期性排列的原子、分子、离子或其集团是构成晶体结构的基本单元，称晶体的结构基元。如果将结构基元抽象成一个几何点，则可将晶体结构抽象成无数个在三维空间呈规则排列的点阵，该点阵又称空间点阵。图 1-1 即为一般晶体抽象而成的空间点阵。

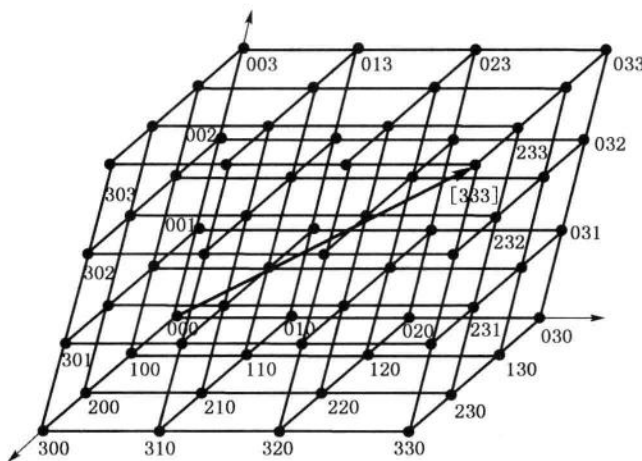


图 1-1 一般空间点阵

### 1.1.2 空间点阵的四要素

(1) 阵点 即空间点阵中的阵点。它代表结构基元的位置，是晶体结构的相当点，就其本身而言，仅具有几何意义，不代表任何质点。空间点阵具有无穷多个阵点。

(2) 阵列 即阵点在同一直线上的排列。任意两个阵点即可构成一个阵列，同一阵列上阵点间距相等，阵点间距为该方向上的最小周期，平行阵列上的阵点间距必相等，不同方向上的阵点间距一般不相等。空间点阵具有无穷多个阵列。

(3) 阵面 即阵点在同一平面上的分布。任意不在同一阵列上的三阵点即可构成一个阵面。单位阵面上的阵点数称面密度，相邻阵面间的垂直距离称面间距，平行阵面上的面密度和面间距均相等。空间点阵具有无穷多个阵面。

(4) 阵胞 即在三维方向上两两平行并且相等的六面体。是空间点阵中的体积单元。

空间点阵可以看成是这种平行六面体在三维方向上的无缝堆砌。注意：①阵胞有多种选取方式，主要反映晶体结构的周期性；②当阵点仅在阵胞的顶角上，一个阵胞仅含一个阵点，代表一个基元时，该阵胞又称物理学原胞，原胞的体积最小，三维基矢设为  $\mathbf{a}_1$ ,  $\mathbf{a}_2$ ,  $\mathbf{a}_3$ 。

### 1.1.3 布拉菲阵胞

为了同时反映晶体结构的周期性和对称性，通常按以下原则选取阵胞：

- (1) 反映晶体的宏观对称性；
- (2) 尽可能多的直角；
- (3) 相等的棱边和夹角尽可能多；
- (4) 满足上述条件下，阵胞体积尽可能最小。

按以上原则选取阵胞时，法国晶体学家布拉菲(A. Bravais)通过研究发现空间点阵的阵胞只有 14 种，此时阵点不仅可在阵胞的顶点，还可在阵胞的体内或面上，阵胞的体积也不一定为最小，可能是原胞体积的整数倍。布拉菲阵胞又称晶胞，或惯用胞，或结晶学原胞。图 1-2 为 14 种布拉菲阵胞，三维基矢设为  $\mathbf{a}$ ,  $\mathbf{b}$ ,  $\mathbf{c}$ 。

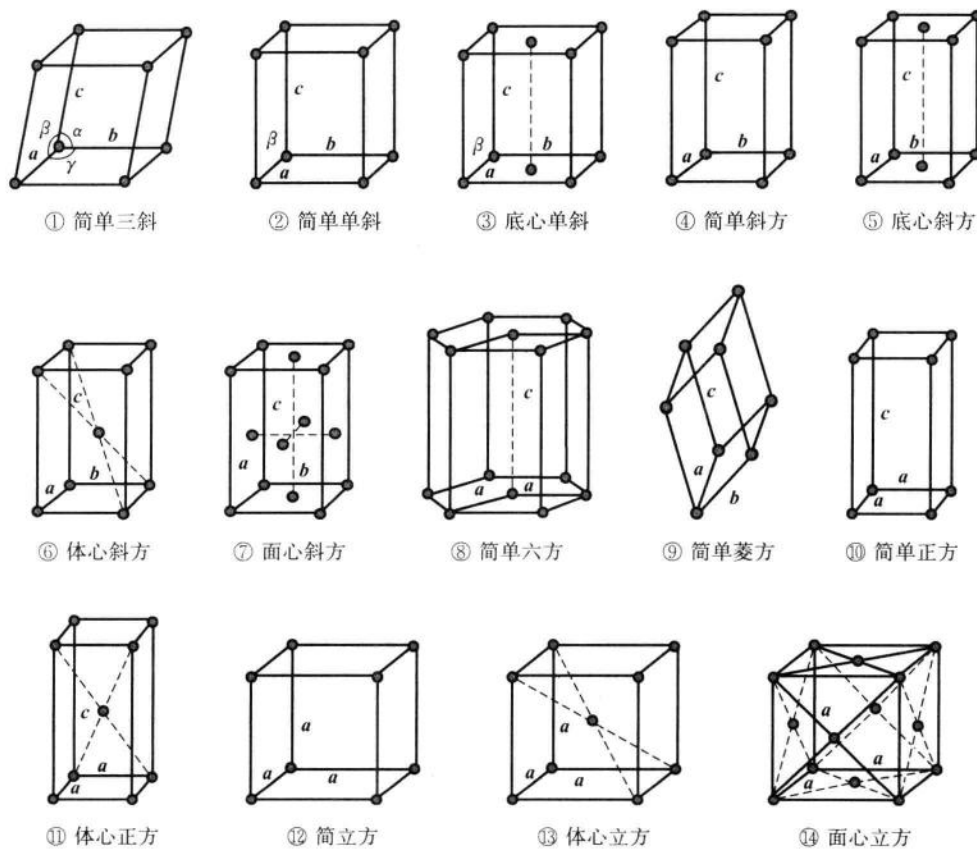


图 1-2 布拉菲点阵示意图

晶胞的形状与大小用相交于某一顶点的三个棱边上的点阵周期  $a$ 、 $b$ 、 $c$  以及它们之间的夹角  $\alpha$ 、 $\beta$ 、 $\gamma$  来表征，其中  $\alpha$ 、 $\beta$ 、 $\gamma$  分别为  $b$  与  $c$ ， $c$  与  $a$ ， $a$  与  $b$  的夹角。 $a$ 、 $b$ 、 $c$ 、 $\alpha$ 、 $\beta$ 、 $\gamma$

称为晶格常数。

14 种布拉菲阵胞根据点阵参数的特点分为立方、正方、斜方、菱方、六方、单斜及三斜七大晶系。根据阵点在阵胞中的位置特点又可将其分为简单(P)、底心(C)、体心(I)和面心(F)四大点阵类型。

- (1) 简单型。阵点分布于六面体的 8 个顶点处, 符号为 P。
- (2) 底心型。阵点除了分布于六面体的 8 个顶点外, 在六面体的底心或对面中心处仍分布有阵点, 符号为 C。
- (3) 体心型。阵点除了分布于六面体的 8 个顶点外, 在六面体的体心处还有一个阵点, 符号为 I。
- (4) 面心型。阵点除了分布于六面体的 8 个顶点外, 在六面体的 6 个面心处还各有一个阵点, 符号为 F。

各点阵如表 1-1 所示。

表 1-1 晶系及点阵类型

晶系	点阵参数	布拉菲点阵	点阵符号	阵胞内阵点数	阵点坐标
立方晶系 $a = b = c$ $\alpha = \beta = \gamma = 90^\circ$	简单立方	P	1	000	
	体心立方	I	2	$000, \frac{1}{2} \frac{1}{2} \frac{1}{2}$	
	面心立方	F	4	$000, \frac{1}{2} \frac{1}{2} 0, \frac{1}{2} 0 \frac{1}{2}, 0 \frac{1}{2} \frac{1}{2}$	
正方晶系 $a = b \neq c$ $\alpha = \beta = \gamma = 90^\circ$	简单正方	P	1	000	
	体心正方	I	2	$000, \frac{1}{2} \frac{1}{2} \frac{1}{2}$	
斜方晶系 $a \neq b \neq c$ $\alpha = \beta = \gamma = 90^\circ$	简单斜方	P	1	000	
	体心斜方	I	2	$000, \frac{1}{2} \frac{1}{2} \frac{1}{2}$	
	底心斜方	C	2	$000, \frac{1}{2} \frac{1}{2} 0$	
	面心斜方	F	4	$000, \frac{1}{2} \frac{1}{2} 0, \frac{1}{2} 0 \frac{1}{2}, 0 \frac{1}{2} \frac{1}{2}$	
菱方晶系 $a = b = c$ $\alpha = \beta = \gamma \neq 90^\circ$	简单菱方	R	1	000	
六方晶系 $a = b \neq c$ $\alpha = \beta = 90^\circ$ $\gamma = 120^\circ$	简单六方	P	1	000	
单斜晶系 $a \neq b \neq c$ $\alpha = \gamma = 90^\circ \neq \beta$	简单单斜	P	1	000	
	底心单斜	C	2	$000, \frac{1}{2} \frac{1}{2} 0$	
三斜晶系 $a \neq b \neq c$ $\alpha \neq \beta \neq \gamma \neq 90^\circ$	简单三斜	P	1	000	

注意:

- ① 空间点阵是为方便研究晶体结构而进行的一种数学抽象, 反映了晶体结构的几何特征, 它不能脱离具体的晶体结构而单独存在。
- ② 空间点阵的阵点仅具几何意义, 并非具体的质点, 它可以是结构基元的质心位置, 也

可以是结构基元中任意等价的点。

- ③ 晶体的结构复杂、种类繁多,但从中抽象出来的空间点阵只有 14 种。
- ④ 晶体结构=空间点阵+结构基元。
- ⑤ 原胞包含一个基元,而非一个原子。
- ⑥ 一种点阵可代表多种晶体结构。结构基元可以由一个或多个等同质点的不同的形式进行排列和结合。

#### 1.1.4 典型晶体结构

晶体结构根据其对应点阵的特点,可分为简单点阵和复式点阵两类。简单点阵即点阵

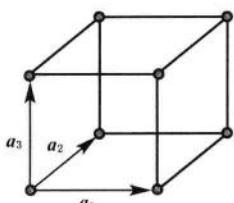


图 1-3 简单立方

结构仅有一种结构形式,常见的有简立方、体心立方和面心立方 3 种;而复式点阵则是由两种同类或异类原子形成的点阵结构套构而成,常见的有密排六方结构、金刚石结构、NaCl 结构、CsCl 结构以及闪锌矿结构等。

##### 1) 简单立方(sc)结构

图 1-3 为简单立方示意图。简立方的边长为  $a$ ,基矢为  $\mathbf{a}$ 、 $\mathbf{b}$ 、 $\mathbf{c}$ ,  $a = b = c$ ,阵点仅在立方体的 8 个顶点上,体内无阵点,每个阵点为其周围 8 个阵胞共有,单个阵胞拥有  $8 \times 1/8 = 1$  个阵点,或 1 个结构基元。当结构基元为原子时,该原胞含有一个原子,其坐标为  $(0, 0, 0)$ ,每个原子占有的体积为  $a^3$ 。简单立方阵胞也是该点阵的一种原胞。该原胞的三维基矢  $\mathbf{a}_1$ 、 $\mathbf{a}_2$ 、 $\mathbf{a}_3$  分别与阵胞基矢  $\mathbf{a}$ 、 $\mathbf{b}$ 、 $\mathbf{c}$  相等。即:

$$\begin{cases} \mathbf{a}_1 = \mathbf{a} \\ \mathbf{a}_2 = \mathbf{b} \\ \mathbf{a}_3 = \mathbf{c} \end{cases} \quad (1-1)$$

$$\text{原胞体积} = \text{阵胞体积} = \mathbf{a}_1 \cdot (\mathbf{a}_2 \times \mathbf{a}_3) = abc = a^3。$$

##### 2) 体心立方(bcc)结构

体心立方的边长为  $a$ ,阵点除了在 8 个顶点外,立方体的体心还分布有一个阵点,每个阵胞含有 2 个阵点,当结构基元为原子时,则该阵胞含有 2 个原子,坐标分别为  $(0, 0, 0)$  和  $(\frac{1}{2}, \frac{1}{2}, \frac{1}{2})$ 。原胞选取如图 1-4 所示,原胞基矢  $\mathbf{a}_1$ 、 $\mathbf{a}_2$ 、 $\mathbf{a}_3$  与阵胞基矢的关系为:

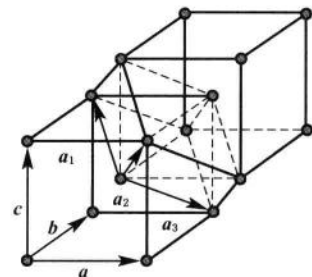


图 1-4 体心立方结构及其原胞

$$\begin{cases} \mathbf{a}_1 = \frac{1}{2}(-\mathbf{a} + \mathbf{b} + \mathbf{c}) \\ \mathbf{a}_2 = \frac{1}{2}(\mathbf{a} - \mathbf{b} + \mathbf{c}) \\ \mathbf{a}_3 = \frac{1}{2}(\mathbf{a} + \mathbf{b} - \mathbf{c}) \end{cases} \quad (1-2)$$

原胞体积为  $\mathbf{a}_1 \cdot (\mathbf{a}_2 \times \mathbf{a}_3) = \frac{1}{2}a^3$ , 为体心立方阵胞的一半。晶体结构为体心立方的常见

元素有:Mo、W、Li、Na、K、Cr、 $\alpha$ -Fe等。

### 3) 面心立方(fcc)结构

面心立方的边长为 $a$ ,除了8个顶点有阵点外,6个面的中心均有一个阵点,每个阵胞含有4个阵点,其坐标分别为 $(0, 0, 0)$ 、 $(\frac{1}{2}, \frac{1}{2}, 0)$ 、 $(\frac{1}{2}, 0, \frac{1}{2})$ 、 $(0, \frac{1}{2}, \frac{1}{2})$ 。该阵胞的原胞选取如图1-5所示,原胞基矢 $\mathbf{a}_1$ 、 $\mathbf{a}_2$ 、 $\mathbf{a}_3$ 与阵胞基矢 $\mathbf{a}$ 、 $\mathbf{b}$ 、 $\mathbf{c}$ 的关系为

$$\begin{cases} \mathbf{a}_1 = \frac{1}{2}(\mathbf{b} + \mathbf{c}) \\ \mathbf{a}_2 = \frac{1}{2}(\mathbf{c} + \mathbf{a}) \\ \mathbf{a}_3 = \frac{1}{2}(\mathbf{a} + \mathbf{b}) \end{cases} \quad (1-3)$$

原胞的体积 $\mathbf{a}_1 \cdot (\mathbf{a}_2 \times \mathbf{a}_3) = \frac{1}{4}a^3$ ,仅为阵胞体积的 $1/4$ 。晶体结构为面心立方的常见元素有Al、Cu、Au、Ag、 $\gamma$ -Fe等。

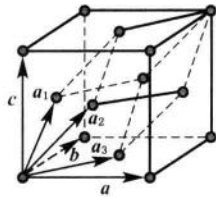


图1-5 面心立方结构及其原胞

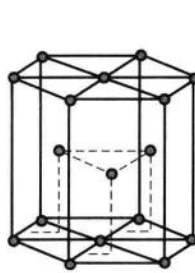
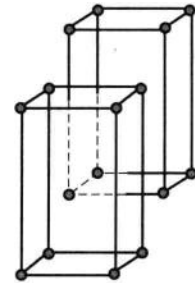


图1-6 密排六方结构



### 4) 密排六方结构

通常由六棱柱表示。底边边长为 $a$ ,阵点位于上下正六边形的中心和6个顶点处,另3个位于六棱柱的中截面上,其在底面上的投影处于相隔三角形的重心处,共含六个阵点。顶角、底心上的阵点与中截面上阵点的周围环境不同,因而,密排六方结构可看成是由3个单位平行六面体组成,每个平行六面体又由两个简单六面体套构而成,故密排六方结构是复式格子。结构基元由两个原子组成。原胞的选取可与晶胞相同,为平行六面体,原胞含有一个基元,共两个原子,其坐标分别为 $(0, 0, 0)$ 和 $(\frac{2}{3}, \frac{1}{3}, \frac{1}{2})$ 。具有密排六方结构的元素有Mg、Be、Cd、Zn等。

### 5) NaCl结构

NaCl的晶体结构如图1-7所示,是典型的离子晶体,每个基元由一个Na<sup>+</sup>离子和一个Cl<sup>-</sup>离子组成,晶胞共有4个基元8个离子,Na<sup>+</sup>离子分布于立方体的顶角和六个面的面心,形成面心立方结构,Cl<sup>-</sup>离子的分布也构成了面心立方结构,沿棱边平移半个棱边长。因此,NaCl晶体的空间点阵是由Na<sup>+</sup>离子和Cl<sup>-</sup>离子两个面心立方结构沿棱边平移半个棱边长套构而成。其空间点阵为面心立方。原胞的选取可等同于面心立方,若以Na<sup>+</sup>的面心立方选基矢,则平行六面体的顶点为Na<sup>+</sup>,而六面体的体心为Cl<sup>-</sup>,原胞含有一个基元(一个Na<sup>+</sup>

和一个  $\text{Cl}^-$ ), 其坐标分别为  $(0, 0, 0)$ 、 $(\frac{1}{2}, \frac{1}{2}, \frac{1}{2})$ , 见图 1-7(b)。具有  $\text{NaCl}$  晶体结构的还有  $\text{KCl}$ 、 $\text{AgBr}$ 、 $\text{PbS}$  等。

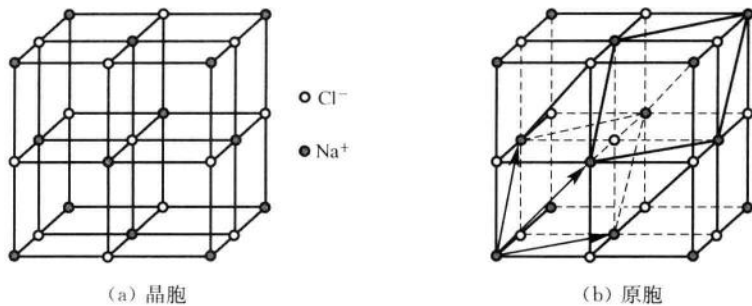


图 1-7  $\text{NaCl}$  结构

#### 6) $\text{CsCl}$ 结构

晶胞如图 1-8 所示。 $\text{Cl}^-$  和  $\text{Cs}^+$  分别位于立方体的顶角和体心, 每个晶胞含有一个基元,  $\text{Cl}^-$  和  $\text{Cs}^+$  分别构成简立方结构, 并沿立方体的空间对角线平移  $1/2$  的长度套构而成。其空间点阵为简立方。该点阵的原胞选取可同于晶胞, 含有一个基元(一个  $\text{Cl}^-$  和一个  $\text{Cs}^+$ )。当  $\text{Cl}^-$  的坐标为  $(0, 0, 0)$  时, 则  $\text{Cs}^+$  的坐标为  $(\frac{1}{2}, \frac{1}{2}, \frac{1}{2})$ , 或相反。常见的还有  $\text{TiBr}$ 、 $\text{AlTi}$ 、 $\text{BeCu}$  等。

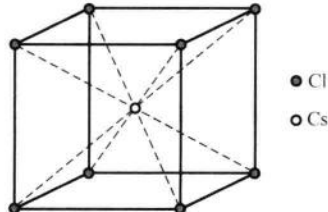


图 1-8  $\text{CsCl}$  结构

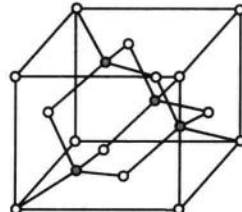


图 1-9 锌矿结构

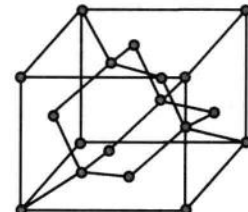


图 1-10 金刚石结构

#### 7) 锌矿结构

锌矿结构如图 1-9 所示。两种异类原子分别构成面心立方结构, 并沿空间对角线方向平移  $1/4$  的长度套构而成, 晶胞中含有 4 个基元。闪锌矿结构的空间点阵为面心立方。原胞的选取可同于面心立方, 每个原胞中含有一个基元(两个异类原子)。具有闪锌矿结构的还有  $\text{CuF}$ 、 $\text{CuCl}$ 、 $\text{AgI}$ 、 $\text{ZnS}$ 、 $\text{CdS}$  等。

#### 8) 金刚石结构

金刚石结构如图 1-10 所示。是由两套面心立方沿空间对角线平移  $1/4$  的长度套构而成, 晶胞共有 8 个同类原子, 其坐标分别为:  $(0, 0, 0)$ 、 $(\frac{1}{2}, \frac{1}{2}, 0)$ 、 $(\frac{1}{2}, 0, \frac{1}{2})$ 、 $(0, \frac{1}{2}, \frac{1}{2})$ 、 $(\frac{1}{4}, \frac{1}{4}, \frac{1}{4})$ 、 $(\frac{3}{4}, \frac{3}{4}, \frac{1}{4})$ 、 $(\frac{3}{4}, \frac{1}{4}, \frac{3}{4})$ 、 $(\frac{1}{4}, \frac{3}{4}, \frac{3}{4})$ 。金刚石结构的空间点阵为面心立方, 原胞的选取也可同于面心立方, 每个原胞中含有一个基元(两个同类原子), 具有金刚石结构的还有  $\text{Si}$ 、 $\text{Ge}$ 、 $\text{Sn}$  等。

### 1.1.5 晶体的基本性质

晶体的基本性质是指一切晶体所共有的性质,由晶体内部质点排列的周期性决定。基本性质如下:

#### 1) 均匀性

是指同一晶体的各个不同部位均具有相同性质的特性。换言之,在晶体中任取两个形状、大小和取向均相同的,且微观足够大、宏观足够小的体积元,它们的性质均相同。这是由晶体内部质点排列的周期性,同一晶体的不同部位具有相同的质点分布所决定的。注意:①均匀性不是晶体独有的特性,液体和气体也具有均匀性,但其均匀性来源于原子分子热运动的随机性;②晶体的均匀性不含有各向同性,而气体、液体的均匀性含有各向同性。

#### 2) 异向性

是指晶体的性质因方向的不同而有所差异的特性。这是由于同一晶体的不同方向上的质点排列一般是不同的,因而晶体的性质随测试方向的不同而有所不同。例如单晶石英的弹性模量和弹性系数在不同测试方向上具有不同的数值。再如蓝宝石,在平行于晶体延长方向上的硬度(5.5 GPa)远小于其垂直方向上的硬度(6.5 GPa),故蓝宝石又称二硬石。

#### 3) 对称性

指晶体中的相同部分(几何要素如晶面、晶棱、顶点等)或性质在不同方向或位置上有规律地重复出现的特性。该特性与晶体的异向性不矛盾,它是由晶体内部质点排列的对称性决定的。

#### 4) 自限性

是指晶体在一定条件下能自发地形成封闭的凸几何多面体的特性。凸几何多面体的平面为晶面,晶面的交棱为晶棱,晶棱的会聚为顶点,且三者数量上符合欧拉定律:晶面数+角顶数=晶棱数+2。该特性是晶体内部质点的规则排列在外形上的反映,因此,晶面、晶棱、角顶分别对应于点阵中的阵面、阵列和阵点。

#### 5) 最小内能

是指晶体在相同的热力学条件下,与同种物质的非晶体相(非晶体、准晶体、液体、气体)相比,具有最小内能的特性。内能包括质点的动能和势能(位能)。动能是由质点的热运动决定的,与其热力学条件(温度、压力等)相关,因此它不是可比量。势能是由质点间的相对位置与排列决定的,是比较内能大小的参量。晶体内部的质点规则排列是各质点间的引力与斥力相平衡的结果,晶体内的质点均已达到平衡位置,其势能最小,因而晶体具有最小内能。无论使质点间的距离增大或缩小,均会导致质点间的相对势能增大。

#### 6) 稳定性

是指晶体在相同的热力学条件下,相同化学组成的同种物质,晶体与非晶体相比最为稳定。这是由于晶体具有最小的内能,晶体内的质点均在其平衡位置所决定的。非晶体有自发向晶体转变的趋势,但晶体不可能自发地转变成其他物态(非晶体)。

此外,晶体还具有固定的熔点,在一定的条件下能对X射线产生衍射效应等性质。晶体具有这些基本性质,均源于其内部质点排列的周期性。

### 1.1.6 准晶体简介

质点排列长程有序,但无周期重复的物质称为准晶体。准晶虽无周期性,但有准周期